

Montgolfière Infrarouge

Bilan Thermique et Vol

Transport

Numéro Candidat:
38082



Objectifs:

- Caractériser les principaux échanges thermiques régissant le vol de la MIR.
- Réaliser une simulation de vol de la MIR et valider ses performances de vol.

Plan

I. La Montgolfière Infrarouge

1. Principe de Fonctionnement
2. Cadre d'étude

II. Etudes des échanges thermiques

1. Les apports thermiques
2. Les pertes thermiques

III. Paramétrage et Simulation du vol

1. Paramétrage
2. Simulation

I. La Montgolfière Infrarouge

1. Principe de fonctionnement

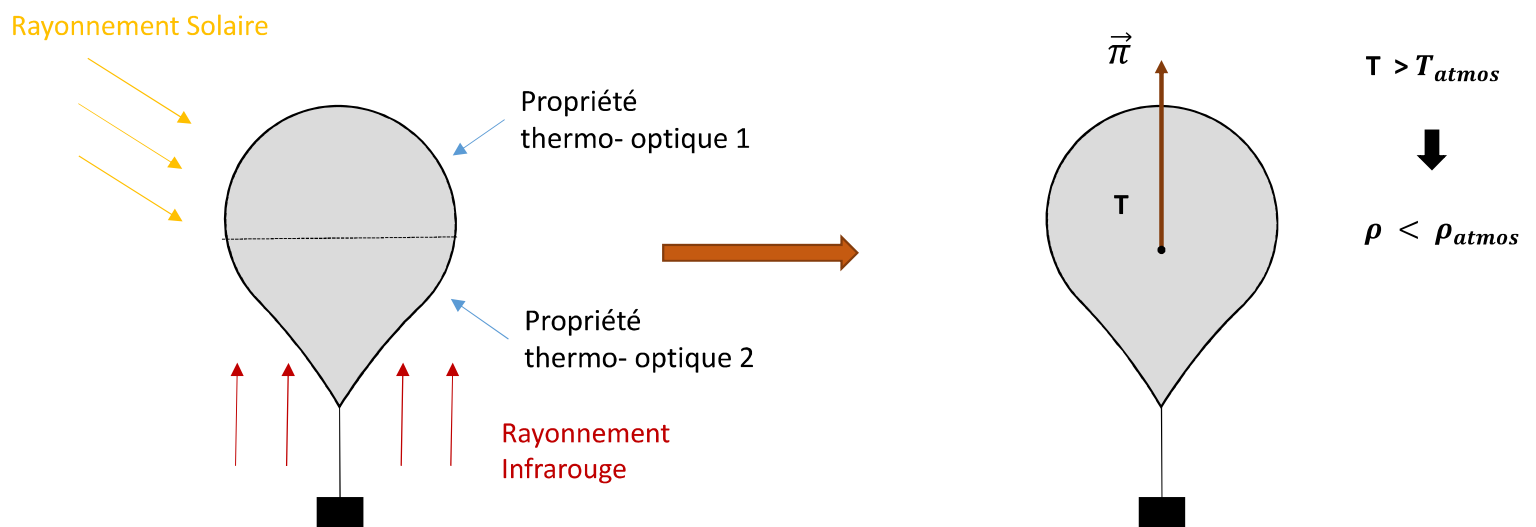
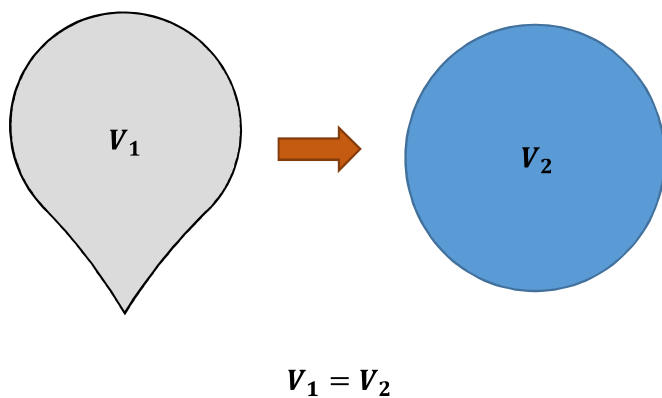


Fig: Représentation d'une MIR

2. Cadre d'étude

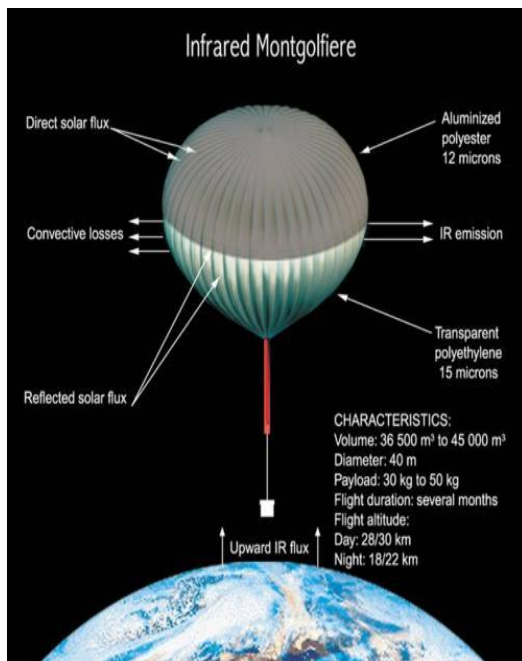


Altitude (km)	Pression (pa)	Tatmos (°C)	Ra_D	Re_D	Ri_D
20	5661	-69	3,4E+12	2,3E+05	87
21	4766	-66	2,3E+12	1,9E+05	86
22	4032	-62	1,5E+12	1,6E+05	85
23	3425	-59	1,0E+12	1,3E+05	84
24	2921	-56	7,0E+11	1,1E+05	83
25	2499	-53	4,8E+11	9,1E+04	82
26	2145	-50	3,4E+11	7,6E+04	81
27	1846	-47	2,4E+11	6,4E+04	80
28	1594	-44	1,7E+11	5,4E+04	79

Fig : Evolution du nombre de Richardson lors des phases de transition jour/nuite (montée et descente) pendant un vol de MIR [1]

- On considèrera un **ballon sphérique** de volume équivalent
- On ne considèrera que la convection se réduit à la **convection naturelle** $Ri_D \gg 1$
- Les températures du gaz porteur et de la paroi sont **uniformes**
- Chaque hémisphère est pris comme un **corps gris**
- Les gaz sont considérés **parfaits**

II. Etude des échanges thermiques



1^{er} Principe de la thermodynamique appliqué à l'enveloppe de la MIR:

$$\frac{dT_E}{dt} = \frac{Q_{solaire} + Q_{infra} - Q_{emis} - Q_{conv,int} - Q_{conv,ext}}{C_{PE} \cdot m_E} \quad (1)$$

$Q_{solaire}$: Flux solaire total reçu

Q_{infra} : Flux infrarouge reçu

Q_{emis} : Flux émis

$Q_{conv,int}$: Flux de convection interne

$Q_{conv,ext}$: Flux de convection externe

Fig: Représentation des principaux échanges thermique sur la MIR (<https://cnes.fr/>)

1. Les apports thermiques

Modélisation du flux solaire globale reçu

On suppose le flux incident isotrope

On définit:

$$Q_{solaire} = (a_1 + a_2 + t_2 \cdot a'_1) \cdot S_{eff} \cdot I \quad (2)$$

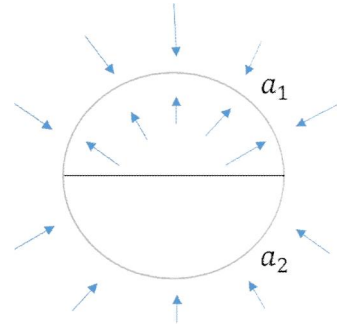
où
$$I = I_{max} \cdot \sin \left[\frac{\pi(ST - t_{rs})}{N} \right] \quad (3)$$

avec
$$t_{rs} = \left(12 - \frac{N}{2} \right) \quad (4)$$

$$N = \frac{2}{15} \cos^{-1}(-\tan \delta \cdot \tan \varphi_L) \quad (5)$$

$$\delta = 23,45 \cdot \sin \left[\frac{360(n + 284)}{365} \right] \quad (6)$$

$$ST = LT + \frac{ET}{60} - \frac{4}{60} (L_s - L_L) \quad (7)$$



$$ET = 9,87 \sin 2B - 7,53 \cos B - 1,5 \sin B \quad (8)$$

$$B = \frac{360(n - 81)}{365} \quad (9)$$

La table suivante donne les valeurs de I_{max}

Month	I_{max} functions	Day no.
Jan.	$451.67 + 1.4415d + 0.0517d^2$	$1 \leq d \leq 31$
Feb.	$545.13 + 4.7264d + 0.0186d^2$	$1 \leq d \leq 28$
March	$690.97 + 5.8053d - 0.0197d^2$	$1 \leq d \leq 31$
April	$851.55 + 4.4475d - 0.364d^2$	$1 \leq d \leq 30$
May	$952.53 + 2.1754d - 0.0269d^2$	$1 \leq d \leq 31$
June	$994.43 + 0.5535d - 0.0155d^2$	$1 \leq d \leq 30$
July	$996.93 - 0.2881d - 0.0203d^2$	$1 \leq d \leq 31$
Aug.	$968.12 - 1.5577d - 0.033d^2$	$1 \leq d \leq 31$
Sept.	$888.38 - 3.7375d - 0.0276d^2$	$1 \leq d \leq 30$
Oct.	$752.5 - 5.535d + 0.0051d^2$	$1 \leq d \leq 31$
Nov.	$586.96 - 5.1924d + 0.0433d^2$	$1 \leq d \leq 30$
Dec.	$470.63 - 2.4968d + 0.061d^2$	$1 \leq d \leq 31$

Fig: Valeurs de I_{max} dans l'année []

Modélisation du flux infrarouge reçu

On définit:

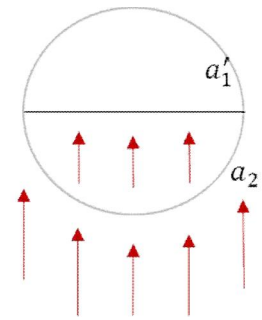
$$Q_{infra} = (a_2 + t_2 \cdot a'_1) \cdot S_{eff} \cdot Q_I \quad (10)$$

$$\text{avec} \quad Q_I = \sigma \left[\phi T_T^4 + (1 - \phi) T_{ciel}^4 \right] \quad (11)$$

$$\text{Où} \quad T_{ciel} = 0,052 \cdot T_a^{1,5} \quad (12)$$

$$\phi = \frac{1}{2} \left[1 - \left(1 + \left(\frac{R_T}{R_T + H} \right)^2 \right)^{1/2} \right] \quad (13)$$

$$T_T = T_{sol}(1 - CC) + T_{nuage}CC \quad (14)$$



1. Les pertes thermiques

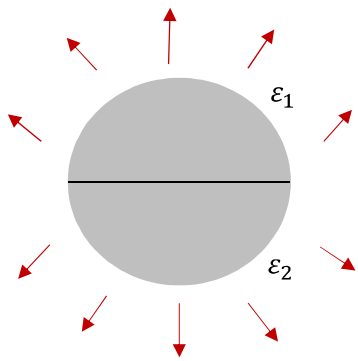
Modélisation du flux émis

En appliquant la loi de Stefan-Boltzmann pour les deux surfaces on a :

$$Q_{emis} = (\varepsilon_1 + \varepsilon_2) \cdot \sigma \cdot S_{eff} \cdot T_E^4 \quad (15)$$

ε_1 : émissivité de la surface 1 sur sa face externe

ε_2 : émissivité de la surface 2



Modélisation des flux convectifs

On définit

$$Q_{conv,int} = (h_{1,int} + h_{2,int}) \cdot S_{eff} \cdot (T_G - T_E) \quad (16)$$

$$Q_{conv,ext} = (h_{1,ext} + h_{2,ext}) \cdot S_{eff} \cdot (T_{atmos} - T_E) \quad (17)$$

On suppose

$$h_{1,int} = h_{2,int} = h_{int}$$

$$h_{1,ext} = h_{2,ext} = h_{ext}$$

Détermination du coefficient d'échange convectif

On a:
$$h_c = \frac{N_u \cdot \lambda}{D} \quad (18)$$

Et
$$N_u^{1/2} = \sqrt{2} + \left[\frac{1}{300} \cdot \frac{Ra^{1/4}}{(1 + (\frac{0.5}{Pr})^{1/4})^{16/9}} \right]^{1/6} \quad (19)$$

$$Ra = Gr \cdot Pr \quad (20)$$

$$Gr = \frac{D^3 \cdot g \cdot \rho^2 \cdot \beta \cdot |T_E - T_{milieu}|}{\mu^2} \quad (21)$$

$$Pr = \frac{\mu \cdot C_p}{\lambda} \quad (22)$$

$$\beta = \frac{2}{T_E + T_{milieu}} \quad (23)$$

L'équation d'Eucken nous donne:

$$\lambda(T_{milieu}) = (C_p + \frac{5}{4} \frac{R}{M_a}) \mu \quad (24)$$

La loi de Sutherland:

$$\mu(T_{milieu}) = \mu_0 \left(\frac{T_0 + C}{T_{milieu} + C} \right) \left(\frac{T_{milieu}}{T_0} \right)^{3/2} \quad (25)$$

III. Paramétrage et simulation du vol

1. Paramétrage

1^{er} principe a l'air intérieur au ballon:

$$\frac{d}{dt}(m_G \cdot C_{pG} \cdot T_G) = h_{int} \cdot S_{eff} \cdot (T_E - T_G) - P_{atmos} \cdot \frac{dV}{dt} \quad (26)$$

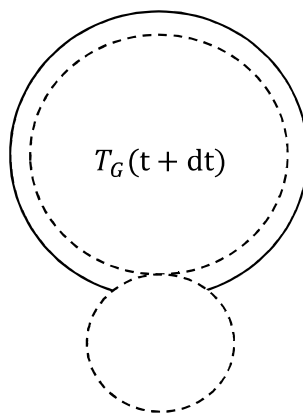
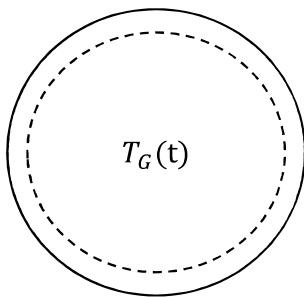
Or $m_G = cte$ et en prenant $C_{pG} = cte'$

De l'équation des gaz parfait on obtient:

$$P_{atmos} \cdot \frac{dV}{dt} = \frac{m_G \cdot R}{M_a} \frac{dT_G}{dt} \quad (27)$$

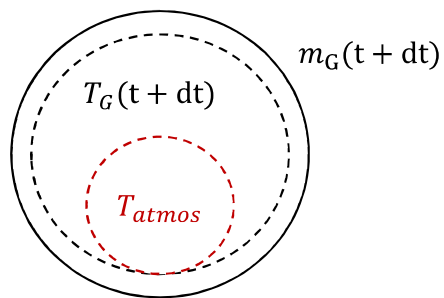
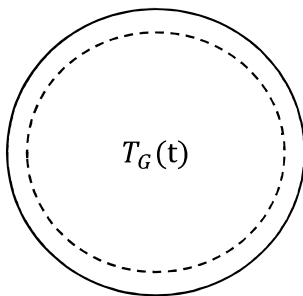
$$m_G \cdot \left(C_{pG} + \frac{R}{M_a}\right) \frac{dT_G}{dt} = h_{int} \cdot S_{demispher} \cdot (T_E - T_G) \quad (28)$$

1^{er} cas: $dV > 0$



V_E constante
La connaissance de T_G est suffisante
pour prévoir la position suivante du
ballon

2^{ème} cas: $dV < 0$



L'équilibre thermique doit être
etabli

On suppose celui-ci instantané

Ainsi

$$T'_G(t + dt) = \frac{(m_G(t + dt) \cdot C_{pG} \cdot T_G + dV \cdot \rho_{atmos} \cdot C_{pG} \cdot T_{atmos})}{(m_G(t + dt) \cdot C_{pG} + dV \cdot \rho_{atmos} \cdot C_{pG})} \quad (29)$$

Théorème de la résultante cinétique:

$$(m_G + m + m_E) \cdot \frac{d^2 z}{dt^2} = (\rho_{atmos} \cdot V - m - m_E - m_G) \cdot g - \frac{1}{2} \rho_{atmos} \cdot S_{CE} \cdot C_T \cdot \left| \frac{dz}{dt} \right| \cdot \frac{dz}{dt} \quad (30)$$

2. Simulation et résultat

On pose $v = \frac{dz}{dt}$

Le système obtenu est:

$$\frac{dT_G}{dt} = \frac{h_{int} \cdot S_{demispher} \cdot (T_E - T_G)}{m_G \cdot (C_{pG} + \frac{R}{M_a})}$$

$$\frac{dT_E}{dt} = \frac{Q_{solaire} + Q_{infra} - Q_{emis} - Q_{conv,int} - Q_{conv,ext}}{C_{PE} \cdot m_E}$$

$$\frac{dv}{dt} = \frac{(\rho_{atmos} \cdot V - m - m_E - m_G) \cdot g - \frac{1}{2} \rho_{atmos} \cdot S_{CE} \cdot C_T \cdot |v| \cdot v}{m_G + m + m_E}$$

$$\frac{dz}{dt} = v$$

On pose

$$Y' = f(t, T_G, T_E, v, z)$$

avec $Y = \begin{pmatrix} T_G \\ T_E \\ v \\ z \end{pmatrix}$

En discrétisant l'axe des temps

$$Y_{k+1} = Y_k + \Delta t \cdot f(t_k, T_{Gk}, T_{Ek}, v_k, z_k)$$

$$t_k = t_0 + \Delta t \cdot k$$

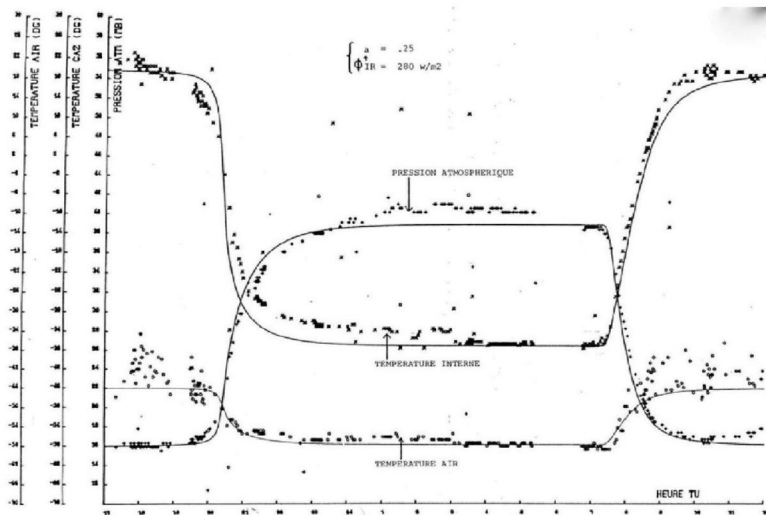


Fig: Profil de température attendu [1](phase 2)

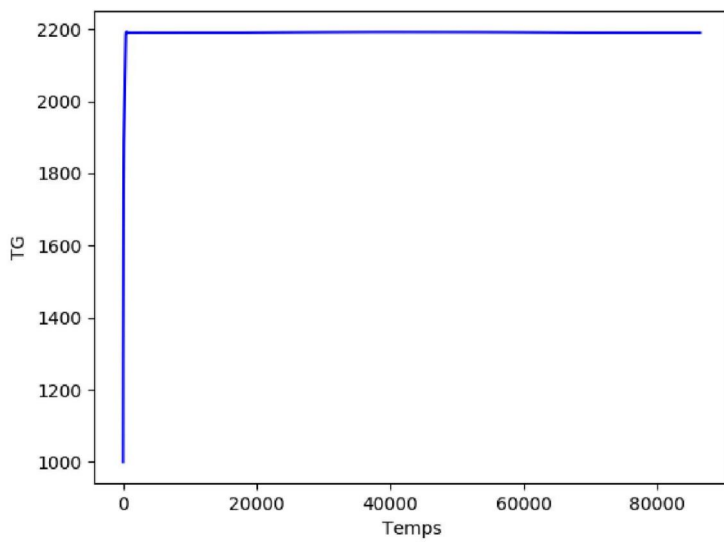


Fig: Profil de température obtenu

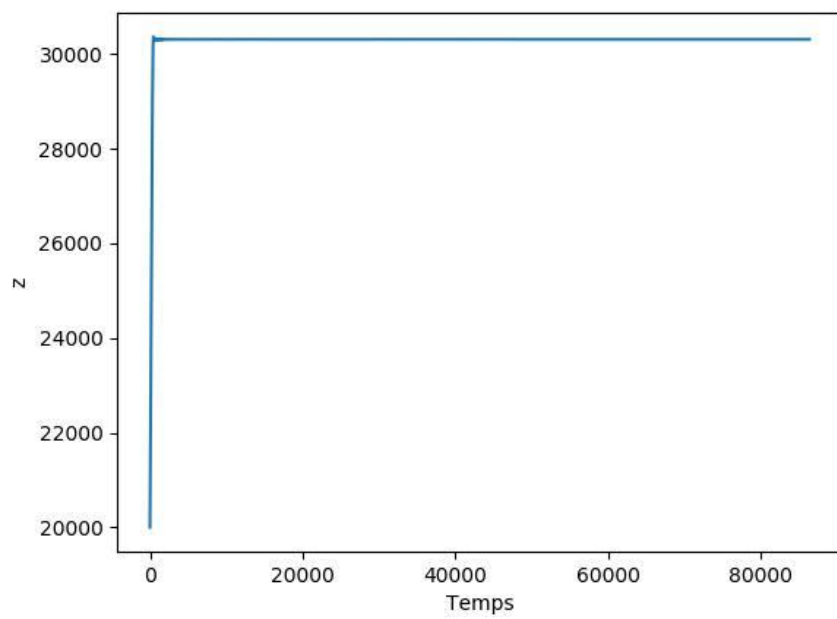


Fig: Variation d'altitude de la MIR obtenu

Conclusion

Erreur de consistance de la méthode d'Euler